



## تشخیص انکیلوز بودن دندان با استفاده از فرکانس طبیعی

زاوش امینی<sup>۱</sup>، احسان جمشیدی<sup>۲\*</sup>، فائزه اسلامی‌پور<sup>۳</sup>

۱- دانشجوی کارشناسی ارشد مکانیک طراحی کاربردی، دانشگاه آزاد اسلامی، سمنان، ایران

۲- استادیار، گروه مهندسی مکانیک، واحد سمنان، دانشگاه آزاد اسلامی، سمنان، ایران

۳- استاد، مرکز تحقیقات دندانپزشکی پروفسور ترابی نژاد، گروه دندانپزشکی اجتماعی، دانشکده دندانپزشکی، دانشگاه علوم پزشکی اصفهان، اصفهان، ایران

\* سمنان، صندوق پستی، ehsan.jamshidi@semnan.ac.ir

### چکیده

در این مقاله فرکانسهای دندان در حالت طبیعی و انکیلوز(فک جوش) بررسی و مقایسه می‌گردد. در درمان ارتودنسی اصل درمان بر مبنای جابجایی و چرخش دندانها است عدم تشخیص انکیلوز بودن دندان درمان ارتودنسی را طولانی و کم اثر نماید حال آنکه در عکس‌های سی‌تی اسکن تشخیص انکیلوز بودن دندان با دشواری صورت می‌گیرد. در این پژوهش ابتدا عکس‌های بدست آمده از سی‌تی اسکن توسط نرم‌افزار میمیکس به مدل سه بعدی تبدیل گردید سپس در نرم‌افزار ماجیک نقاط اضافی موجود در مدل حذف گردیده و مدل برای تحلیل آمده می‌گردد مدل دندان به نرم‌افزار سالیدورک انتقال یافته و برای آن لیگامان و فک متناظر با آن ساخته شد سپس مدل به نرم‌افزار آباکوس که از روش المان محدود برای تحلیل اسفاده می‌کند وارد گردید، چگالی و مدول یانگ برای هریک از قسمتهای دندان، فک و لیگامان تعریف شد همچنین برهم کنش بین اعضاء مشخص گردید برای فک و دندان بینهایی فرکانس طبیعی بدست آمد که از فرکانس مجموعه فک، دندان و لیگامن بالاتر می‌باشد برای مجموعه فک، دندان و لیگامان در حالت عادی و انکیلوز فرکانس طبیعی بدست آمد که فرکانس طبیعی در حالت انکیلوز بسیار بالاتر از فرکانس طبیعی در حالت عادی می‌باشد و از این روش می‌توان برای تشخیص انکیلوز بودن دندان استفاده نمود.

### اطلاعات مقاله

مقاله پژوهشی کامل

دربافت: ۳ تیر ۱۳۹۸

پذیرش: ۱۵ آذر ۱۳۹۸

ارائه در سایت: ۲۵ آذر ۱۳۹۸

### کلیدواژگان

انکیلوز دندان

میمیکس

فرکانس طبیعی

روش المان محدود

## Use natural frequency to diagnose ankylosed teeth

Zavosh Amini<sup>1</sup>, Ehsan Jamshidi<sup>1\*</sup>, Faezeh Eslamipour<sup>2</sup>

1- Department of Mechanical Engineering, Semnan Branch, Islamic Azad University, Semnan, Iran

2- Dental Research Center, Dept. of Oral Health, School of Dentistry, Isfahan University of Medical Sciences, Isfahan, Iran

\* P.O.B. 123456789 Semnan, Iran, [email@address.ac.ir](mailto:email@address.ac.ir)

### Article Information

Original Research Paper

Received 24 June 2019

Accepted 6 December 2019

Available Online 16 December 2019

### Keywords

Ankylosed tooth

MIMICS

Natural frequency

Finite element method

### ABSTRACT

In this study we compare natural frequency in normal teeth and ankylosed teeth. In orthodontic treatment teeth move and rotate is principal. If ankylosis doesn't diagnosed orthodontic treatment will be time consuming or useless. More over in CT scan picture ankylosis is difficult to understand. In this study CT scan picture transform to 3D model via MIMICS software then in Magic it is prepare to analysis after that in SOLIDWORKS alveolar bone and periodontal ligament add to teeth finally in abaqus CAE define density, Poisson ratio, Young modulus for finite element analysis also interaction is defined. Natural frequency for alveolar bone and tooth in separate condition is greater than tooth, alveolar bone and periodontal ligament combined and ankylosed tooth, alveolar bone and periodontal ligament is much greater natural frequency than normal tooth, alveolar bone and periodontal this natural frequency will help to diagnosis ankylosed teeth.

### Please cite this article using:

Zavosh Amini, Ehsan Jamshidi, Faezeh Eslamipour, Use natural frequency to diagnose ankylosed teeth, *Journal of Mechanical Engineering and Vibration*, Vol. 10, No. 3, pp. 7-12, 2019 (In Persian)

برای ارجاع به این مقاله از عبارت ذیل استفاده نمایید:

تشخیص و درمان انکیلوز دندانی بوده و گروه دوم کارهایی که در ارتباط با بدست آوردن فرکانس طبیعی دندان و فک می باشند.

هانگ و همکاران<sup>[۲]</sup> با تست آنالیز مдал ببروی ۱۰۰۷ دندان و تعیین فرکانس طبیعی آنها تاثیر فاکتورهای مختلف را ببروی فرکانس طبیعی دندانهای مختلف اندازه‌گیری نمودند و نشان دادند که فرکانس طبیعی در ستهای مشابه دندان در زنان به سن آنها بستگی ندارد.

در سال ۲۰۰۹ لی کوشن و همکاران<sup>[۳]</sup> با بدست آوردن فرکانس طبیعی دندانهای کائین (توسط روش فاینات المت سه بعدی) برای تشخیص وضعیت سلامت در استخوان فک استفاده نمودند. دکتر حسین نعمت اللهی و صاحب علم<sup>[۴]</sup> بروز انکیلوز دندانهای شیری و عوامل مرتبط با آن را اندازه‌گیری نمودند. روش معاینه، بالینی-عینی و لمبی و سمعی بود. در معاینه نمونه‌ها، پایین‌تر بودن سطح اکلوازل دندان انکیلوز از سطح اکلوازل دندانهای مجاور معیار اصلی تشخیص بالینی انکیلوز بود. شالیش و همکاران<sup>[۵]</sup>، بر پایه نتایج پژوهش خویش بر این باور هستند، که ممکن است دندانهای مولر شیری انکیلوز، به عنوان یک نمایه برای بروز آنومالی‌های دندانی دیگر همچون نبود دندان دائمی جایگزین و جایگایی پالاتی دندان نیش دائمی مطرح باشند<sup>[۶]</sup>. نظریه‌های گوناگونی در مورد سبب شناسی بروز انکیلوز در نظر گرفته شده است. کارول پیشنهاد کرده است که انکیلوز دندانی می‌تواند بر پایه‌ی طرح توارث چند عاملی، پلی ژنیک یا توسط یک ژن منفرد متاثر از محیط بروز کند. از عوامل بروز انکیلوز دندانی می‌توان به نقایص سوخت و ساز موضعی، تحریکات شیمیایی و حرارتی، نقص موضعی رشد استخوانی و فشار غیر معمول زبان اشاره کرد.

در سال ۲۰۰۹ لی مینگ و همکاران<sup>[۷]</sup> فرکانس طبیعی و مدهای ارتعاشی دندانهای اینسیزور مرکزی را با استفاده از روش المان محدود بررسی نمودند.

### ۳- مدل سازی مکانیکی

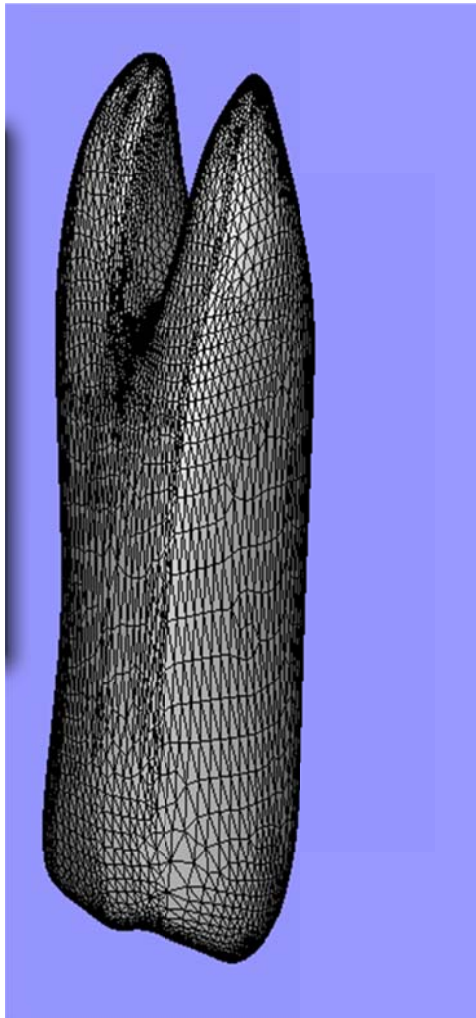
فایلهای حاوی تصاویر سی‌تی اسکن دندانها را به نرم افزار می‌میکس وارد می‌نماییم این فایلهای حاوی اطلاعاتی از کلیه بافت‌ها(پوست، ماهیچه‌ها، بافت‌های چربی، استخوانها و...) می‌باشند برای پردازش با استفاده از معیار حد آستانه جنس استخوان متراکم را برای دندان انتخاب می‌کنیم سپس با توسعه ناحیه پیکسلهای شناور را تا حد امکان از تصویر حذف می‌کنیم

واژه انکیلوز که از دو جزء انکیل به معنی جوش خوردن و وز به معنی حالت، وضعیت و موقعیت تشکیل شده، که بر اتصال دلالت دارد و در همین ارتباط اصطلاح انکیلوز دندانی برای اتصال پاتولوژیک دندان به استخوان آلوئل به کار می‌رود.<sup>[۸]</sup> ارتودنسی یکی از رشته‌های تخصصی دندانپزشکی است. این کلمه مرکب از دو واژه لاتین "ارت" به معنای "راست" و "درست" و "ادوس" یا مشتق آن "دنس" به معنای "دندان" است. ارتودنسی روشی تخصصی برای جفت‌کردن و نظم بخشیدن به دندان‌هایی است که در موقعیت مناسبی در فک قرار نگرفته‌اند.

درمان ارتودنسی بیشتر تصحیح جفت شدن مناسب دندان هاست. این امر می‌تواند ناشی از موقعیت نادرست دندان‌ها و یا دو فک نسبت به هم باشد یا ممکن است درجهاتی از هر دو مشکل در یک فرد موجود باشد. یکی از مشکلات رایجی که درمان ارتودنسی را مشکل و در بعضی مواقع غیرممکن می‌نماید انکیلوز بودن دندانی بیمار می‌باشد. در این‌گونه بیماران بجای اینکه دندان به PDL متصل باشد مستقیماً به فک اتصال دارد و جایگایی دندان تحت بار مکانیکی غیرممکن می‌باشد. در درمان ارتودنسی از یک تئوری استفاده می‌شود که هر گاه آن را فک را تحت فشار قرار دهیم، تحلیل می‌رود و هر گاه آن را تحت کشش قرار دهیم، استخوان فک مجدد ساخته خواهد شد. این فشار باید بسیار ملایم و از فشار خون کمتر باشد، تا باعث نکروز (مردن سلول‌ها) نشود. این فشار باید چند ماه یا سال ادامه یابد تا دندان در موقعیت جدید خود ثابت شود. در بیماران نیازمند ارتودنسی انکیلوز با فشار معمول درمان دندانها جایجا نمی‌شوند و در بعضی از بیماران حتی در عکس‌های سی‌تی اسکن نیز این موضوع مشخص نمی‌گردد. امروزه گذشته از داده‌های تجربی روش‌های المان محدود بهترین وسیله برای تحلیل و آنالیز درمان‌های دندان پزشکی از جمله ارتودنسی است زیرا به کمک نرم افزار‌های المان محدود قادر به تعریف خواص مواد گوناگون برای هندسه‌های مختلف، تعریف شرایط مرزی و فرکانس‌های طبیعی و مدهای ارتعاشی هستیم که بدین وسیله می‌توان شرایط متفاوتی را در زمان کمتر مورد مطالعه قرار داده و نتایج گوناگون را با هم مقایسه کرد

### ۴- پیشینه تحقیق

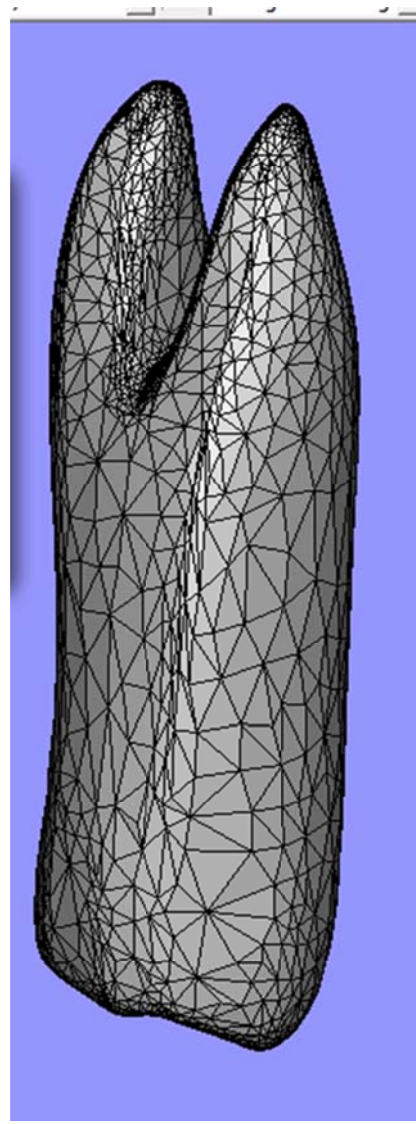
فعالیتهایی که تاکنون انجام شده است را می‌توان به دو گروه اصلی تقسیم کرد گروه اول کارهایی در رابطه با روش‌های



شکل ۲ بعد از بهسازی در نرم افزار ماجیک

ریشه دندان داخل فک به صورت مستقیم به استخوان فک نچسبیده است، بلکه توسط الیافی تحت عنوان لیگامنت به دیواره حفره استخوانی فک متصل است. در واقع می‌توان گفت لیگامنت‌ها واسطه‌ای برای اتصال ریشه دندان داخل فک به استخوان فک هستند<sup>[۸]</sup>. برای ساخت لیگامنتهای فک در نرم افزار سالیدورک با کمک دستور مقیاس و ترکیب نمودن و تفیریق نمودن لیگامنت‌ها را به ضخامت ۲،۰ میلیمتر و استخوان فک متناظر با آن را ایجاد می‌کنیم

با دستور محاسبه سه بعدی کننده از کلیه تصاویر دو بعدی پک حجم سه بعدی ایجاد می‌کنیم از نرم افزار ماجیک برای بهینه سازی کیفیت مثلثهای مشهای ایجاد شده استفاده می‌کنیم شکل ۱ کیفیت مشهای قبل از ورود به نرم افزار ماجیک شکل ۲ کیفیت مشهای بعد از انجام عملیات در نرم افزار ماجیک می‌باشد.



شکل ۱ قبل از انجام عملیات بهسازی در نرم افزار ماجیک

#### ۴- معادلات حاکم و روش حل

در نرم افزار آباکوس مدل دندان، فک و لیگامنت را وارد مینماییم مشخصات را مطابق جدول ۱ چگالی<sup>[۹]</sup> مدول یانگ و ضریب پواسان<sup>[۱۰]</sup>. برای هریک از اجزاء مدل تعریف می‌کنیم.

جدول ۳ فرکانس دندان و فک در حالت مقید بدون اتصال به لیگامنت

فرکانس فک در حالت مقید (HZ)	فرکانس دندان در حالت مقید (HZ)	شماره فرکانس
۱۰۱۵۸۷	۹۵۲,۸	فرکانس اول
۱۱۳۰۱۱	۱۴۳۹,۴	فرکانس دوم
۱۱۶۴۳۴	۴۶۰۳,۷	فرکانس سوم
۱۱۸۸۵۳	۸۷۱۶,۴	فرکانس چهارم
۱۲۴۹۰۴	۹۶۲۹,۲	فرکانس پنجم
۱۲۸۵۸۲	۱۱۹۳۸	فرکانس ششم

در جدول شماره ۳ فرکانس طبیعی فک بسیار بزرگتر از دندان است که به خاطر بزرگی فک در مقایسه با دندان یا از شرایط مقید نمودن فک ناشی شده است. در حالت بدون شرایط مرزی(بدون قید) شش فرکانس اولیه فک و دندان (یا هر جسم دیگری) صفر می باشند.

جدول شماره ۴ مقایسه فرکانس مدل های دندان، فک و لیگامنت در دو حالت طبیعی و انکیلوزمی باشد .

جدول ۱ مدل یانگ، ضربی پواسان و چگالی فک دندان

لیگامنت	ضربی پواسان	چگالی (گرم سانتیمترمکعب)	مدول یانگ (گیگاپاسکال)	ساختم آناتومی
دندان (عاج)	۰,۱۵	۲,۲۰	۲۰	
پریودنتال لیگامنت	۰,۴۵	۱,۱۰	۵-e5	
فک (استخوان آلوئلا)	۰,۱۵	۱,۴۰	۳,۵	

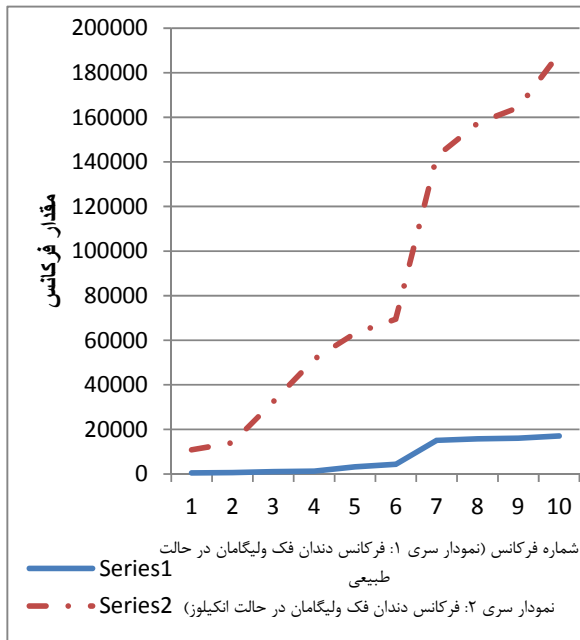
برای تحلیل فرکانسی از الگوریتم لنزاس(Lanczos) استفاده می کنیم [۱۱]. سپس برهم کنش بین اجزاء را تعریف نموده و فک را با شرایط مرزی مقید می کنیم مش بنده مدل را با شرایط جدول ۲ انجام می دهیم.

جدول ۲ مشخصات مش بنده اجزاء

تعداد المانها	اندازه مشها (متر)	مدل مش بنده	نوع مش	المان مش بنده	مدل
۱۹۷۲	۰,۰۱۱	Free	درجه دو	C3D10	فک
۱۳۱۸	۰,۰۰۰۹۴	Free	خطی	C3D4	لیگامنت
۲۳۱۴	۰,۰۱۱	Free	درجه دو	C3D10	دندان

## ۵- بحث برروی نتایج

فرکانس طبیعی فک و دندان در حالتی که دارای شرایط مرزی باشند اما به یکدیگر از طریق لیگامنت اتصال نداشته باشند مطابق جدول شماره ۳ می باشد..



جدول ۴ مقایسه فرکانس مدل های دندان، فک و لیگامنت در دو حالت طبیعی و انکیلوز

فرکانس دندان، لیگامان و فک در حالت طبیعی (Hz)	فرکانس دندان، لیگامان و فک در حالت انکیلوز (Hz)	شماره فرکانس
۵۱۴,۰۹	۱۰۳۱۹,۰	فرکانس اول
۶۴۷,۵۱	۱۳۳۸۶,۰	فرکانس دوم
۱۰۵۷,۰	۳۱۴۰۳,۰	فرکانس سوم
۱۲۴۸,۳	۵۰۲۴۷,۰	فرکانس چهارم
۳۲۱۱,۶	۵۹۹۷۷,۰	فرکانس پنجم
۴۳۶۶,۴	۶۵۱۱۴,۰	فرکانس ششم
۱۵۱۲۲	۱۲۷۳۸۵	فرکانس هفتم
۱۵۷۷۴	۱۴۱۵۵۴	فرکانس هشتم
۱۶۰۱۵	۱۴۸۳۵۶	فرکانس نهم
۱۷۰۳۲	۱۷۱۵۳۵	فرکانس دهم

در جدول شماره ۳ فرکانس طبیعی فک بسیار بزرگتر از دندان است که به خاطر بزرگی فک در مقایسه با دندان یا از شرایط محدود نمودن فک ناشی شده است.

همچنین از مقایسه جداول ۳ و ۴ مشخص می‌گردد که لیگامنت مانند یک فنر سه بعدی بین فک و دندان عمل نموده و فرکانس‌های مدل عادی را پایین نگاه داشته است. از فرکانس طبیعی ششم به بعد مقدار فرکانسها زیاد می‌گردد که در دو حالت طبیعی و انکیلوز این افزایش فرکانس قابل مشاهده است نمودار ۱ افزایش را نشان می‌دهد.

## ۷- منابع

- [1] A. Farshidianfar, M. Shafipoor, M. Sabbagh Sabzevar, Analysis of Nonlinear Vibrations of Impact Dampers in Boats, *Journal of Vibration and Mechanical Engineering*, Vol. 1, No. 1, pp. 7-14, 2011. (In Persian)
- [2] S. G. Tuttle, S. Chaudhuri, K. M. Kopp-Vaughan, T. R. Jensen, B. M. Cetegen, M. W. Renfro, J. M. Cohen, Lean blowoff behavior of asymmetrically-fueled bluff body-stabilized flames, *Combustion and Flame*, Vol. 160, No. 9, pp. 1677-1692, 2013.
- [3] M. Maerefat, A. Omidvar, Thermal Comfort, pp. 15-21, Tehran: Kelid Amoozesh, 2008. (In Persian)
- [4] T. Itoh, Numerical Techniques for Microwave and Millimeter and Millimeter-Wave Passive Structures, Second Edition, pp. 305-320, New York: Wiley, 1989.
- [5] M. Kaviany, Heat transfer in porous media, in: W. M. Rohsenow, J. P. Hartnett, Y. I. Cho (Eds.), *Handbook of Heat Transfer*, pp. 9.32-9.43, New York: McGraw-Hill, 1998

- [6] H. J. Amlashi, H. Shokouhmand, B. Kamkari, Experimental study of charging process in thermal energy storage system using phase change material, in The 4th International Conference on Heating, Ventilating and Air Conditioning, Tehran, Iran, 2012. (In Persian)
- [7] V. P. Carey, Modeling of microscale transport in multiphase systems, in Proceeding of The Eleventh Heat Transfer Conference, Philadelphia: Taylor & Francis, pp. 23-40, 1998.
- [8] A. Zolfaghari, Modification of standard thermal comfort models by using the frequency thermal analysis of the human body, PhD Thesis, Department of Mechanical Engineering, Tarbiat Modares University, Tehran, 2010. (In Persian)
- [9] L. Jonas, Hydrodynamic limit of lattice Boltzmann equations, PhD Thesis, University of Genève, Genève, 2007.
- [10] S. F. Hassell. Stress Analysis in Pressure Vessels, Accessed 8 September 2009; <http://www.shieldco.com/tutorial/24>.
- [11] Methods of gas consumption reduction in residential and commercial buildings, Accessed 20 July 2013; <http://www.ifco.ir/building/ConservationHints/Intro.asp>. (In Persian)
- [12] W. F. Merkel, W. M. Jones, R. G. Klimo, *HVAC adjustment module*, US Patent No. 8493008, 2013.
- [13] J. Davids, D. Smith, *Analysis of constant-velocity joints under high torque*, HMSO, London, pp. 1-8, 1996.